

## รายการอ้างอิง

1. Sze, S. M. Physics of semiconductor devices. New York: John Wiley & Sons, 1969.
2. Cullity, B. D. Element of x-ray diffraction. Massachusetts: Addison-Wesley, 1978.
3. Abelas, F. Optical properties of solids. London: North-Holland, 1972.
4. Liang, E. Z.; and Lin, C. F. Electroluminescence and spectral shift of CdS nanoparticles on si wafer. IEEE Nanomaterial Characterization M3.2(2001): 363-367.
5. Valenta, J., et al. Electroluminescence from sol-gel derived film of CdS nanocrystals. Phys. Stat. sol. (a) 184(2001): R1-R3.
6. Brinker, C. J.; and Scherer, G. W. Sol-gel science. New York: Academic Press, 1990.
7. Cordoncillo, E., et al. The preparation of CdS particles in silica glasses by a sol-Gel method. Journal of Solid State Chemistry 118(1995): 1-5.
8. Parvathy, N. N.; Pajonk, G. M.; and Rao, A. V. Synthesis of various size CdS nanocrystals in porous silica matrix and their spectral and physical properties. NanoStructure Materials 8(1997): 929-943.
9. Juodkazis, S., et al. Waveguiding properties of CdS-doped SiO<sub>2</sub>-TiO<sub>2</sub> films prepares by sol-gel method. Thin Solid Film 322(1998): 238-244.
10. Guaita, F. J.; Cordoncillo, H. B.; Bertran, H.; and Escribano, P. Study of the effect of formamide and N,N-dimethylformamide on the synthesis of Cds nanoparticles in a SiO<sub>2</sub> matrix by sol-gel method. Solid State Sciences 6(1999): 351-364.
11. Katia, J. C.; Omar, J. L.; Herica, C. S.; and Eduardo, J. N. Eu<sup>3+</sup> entrapped in alumina matrix obtained by hydrolytic and non-hydrolytic sol-gel routes. Journal of Non-Crystalline Solids 304(2002): 126-133.
12. นุชนภา ตั้งบริบูรณ์. ผลิตภัณฑ์ก่อสร้างคอลลอยด์โดยกระบวนการไฮดราเจล. กรุงเทพมหานคร: สถาบันวิจัยโลหะและวัสดุ จุฬาลงกรณ์มหาวิทยาลัย, 2539.

ภาคพนวก

ศูนย์วิทยทรัพยากร  
จุฬาลงกรณ์มหาวิทยาลัย

### ภาคผนวก ก

แสดงผลการวัดความหนืดของสารละลายที่เตรียมในอัตราส่วนไมล ระหว่าง Cd:AI ต่าง ๆ กัน

อัตราส่วนไมลระหว่าง Cd:AI	ความหนืดของสารละลาย (cp)
0:4	1.45
	1.44
	1.46
0.5:4	2.81
	2.81
	2.83
1:4	7.71
	7.71
	7.69
2:4	4.35
	4.38
	4.28
3:4	2.85
	2.87
	2.87
4:4	2.25
	2.25
	2.27

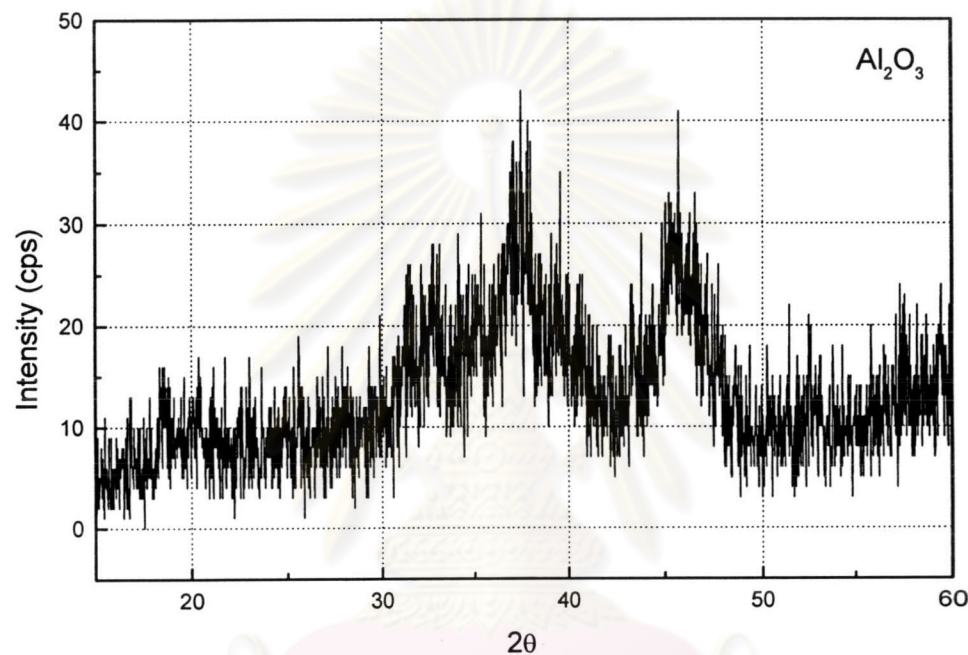
### ภาคผนวก ข

ตารางแสดงตำแหน่งร่องรอยที่สัมพันธ์กับค่ามุมเบราก์ของโครงสร้างผลึกแบบ hexagonal และ cubic ของ CdS

Hexagonal CdS				Cubic CdS		
D	I	hkl	2θ	I	hkl	2θ
3.584	75	100	24.8			
3.366	60	002	26.5			
3.360				100	111	26.5
3.160	100	101	28.2			
2.901				40	200	30.8
2.450	25	102	36.6			
2.068	55	110	43.7			
2.058				80	220	43.9
1.898	40	103	47.9			
1.791	18	200	50.9			
1.761	45	112	51.9			
1.753				60	311	52.1
1.680				10	222	54.6
1.679	4	004	54.6			
1.581	8	202	58.3			
1.453				20	400	64.0
1.337				30	331	70.3

### ภาคผนวก ค

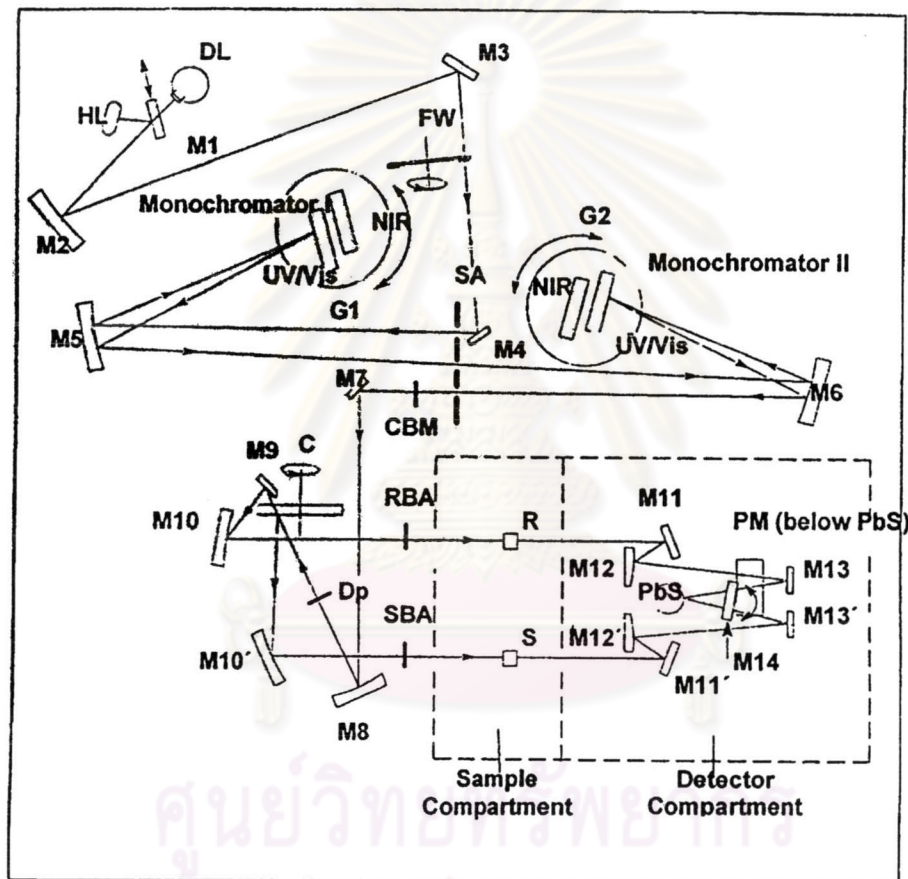
ภาพแพทเทิร์นการเลี้ยวเบนของรังสีเอกซ์ของผลลัมพูนາ



ศูนย์วิทยทรัพยากร  
อุปกรณ์มหawiทยาลัย

### ภาคผนวก ๔

ภาพแสดงไดอะแกรมของเครื่องสเปกโตรมิเตอร์ UV-VIS-NIR (spectrometer) และวิธีการวัดการส่งผ่านแสง



ศูนย์วิทยาศาสตร์  
จุฬาลงกรณ์มหาวิทยาลัย

## ประวัติผู้เขียนวิทยานิพนธ์

ชื่อ	นางสาวศุภลักษณ์ จำลอง
วัน เดือน ปีเกิด	16 พฤษภาคม 2523
ประวัติการศึกษา	สำเร็จการศึกษาระดับปริญญาตรีวิทยาศาสตรบัณฑิต สาขาวิชาพิสิกส์ มหาวิทยาลัยทักษิณ เมื่อปีการศึกษา 2543
ทุนการศึกษา	ทุนโครงการพัฒนาอาจารย์สาขาขาดแคลน ของทบวงมหาวิทยาลัย พ.ศ. 2544-2545 ทุนอุดหนุนงานวิจัยฯพ้ำลงกรณ์มหาวิทยาลัย พ.ศ. 2546

**ศูนย์วิทยทรัพยากร  
จุฬาลงกรณ์มหาวิทยาลัย**